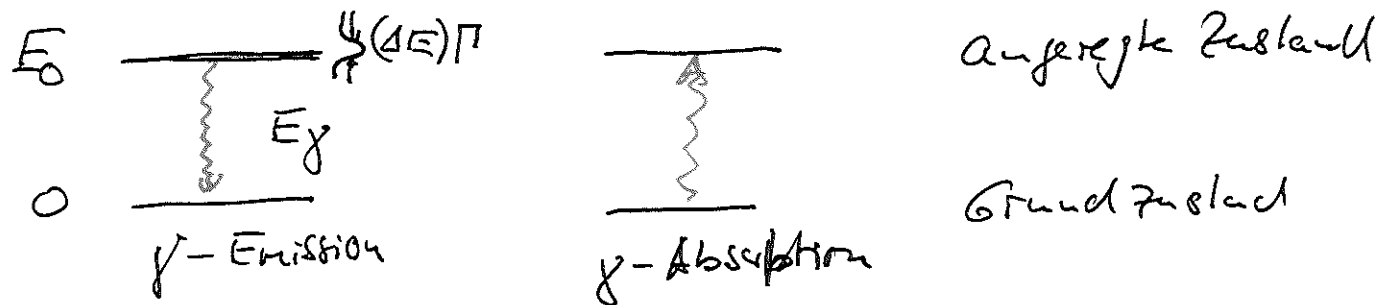


# Resonanzabsorption von $\gamma$ -Strahlung

(1)

Resonanzabsorption tritt im Prinzip dann auf, wenn die bei dem Zerfall eines angeregten Niveaus zu den Grundzuständen entstehende  $\gamma$ -Strahlung von Kernen der gleichen Art absorbiert wird.



Prozess wird auch als Kern fluorescence bezeichnet

$$\text{Natürliche Linienbreite } \Gamma = \frac{t_0}{\tau} \quad (\tau : \text{Lebensdauer})$$

z.Bsp für den 14,4 keV in  $^{57}\text{Fe}$

$$\text{ist } \tau = 1,4 \cdot 10^{-7} \text{ s}$$

$$\Rightarrow \Gamma = \frac{t_0}{\tau} = 4,7 \cdot 10^{-9} \text{ eV}$$

$$(\Delta E \cdot \Delta t \approx t_0) \\ \Rightarrow \Gamma \cdot \tau \approx t_0$$

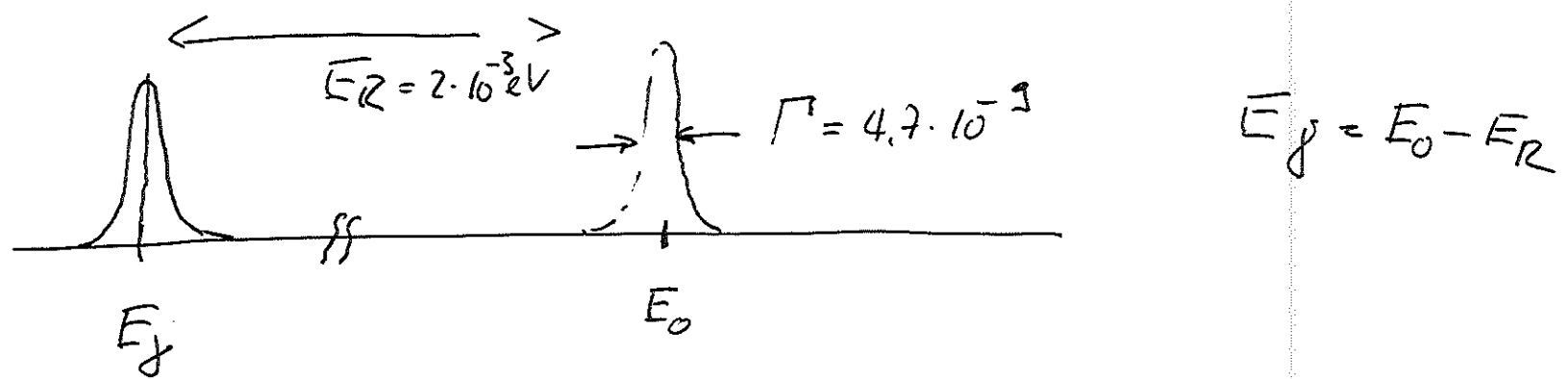
$$(t_0 = 6,58 \cdot 10^{-22} \text{ Revs})$$

In den meisten Fällen von  $\gamma$ -Emission wird der Resonanzeffekt durch folgende Nebeneffekte berücksichtigt. (2)

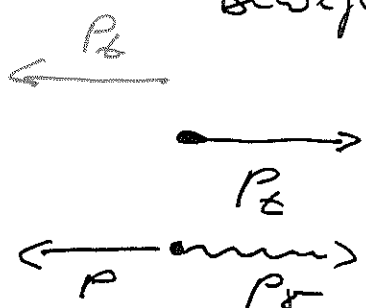
- a)  $\gamma$ -Strahl wird mit Energie  $E_\gamma$  emittiert, die kleiner als die Anregungsenergie  $E_0$  ist  
Rückstoßenergie bei Emission:

$$\bar{E}_R = \frac{p^2}{2m} = \frac{E_0^2}{2mc^2} = 2 \cdot 10^{-3} \text{ eV}$$

$$p \quad E_\gamma = pc$$



- b) Doppler-Effekt: Die Linie wird infolge der thermischen Bewegung der emittierenden Kerne  $\rightarrow$  verbreitert

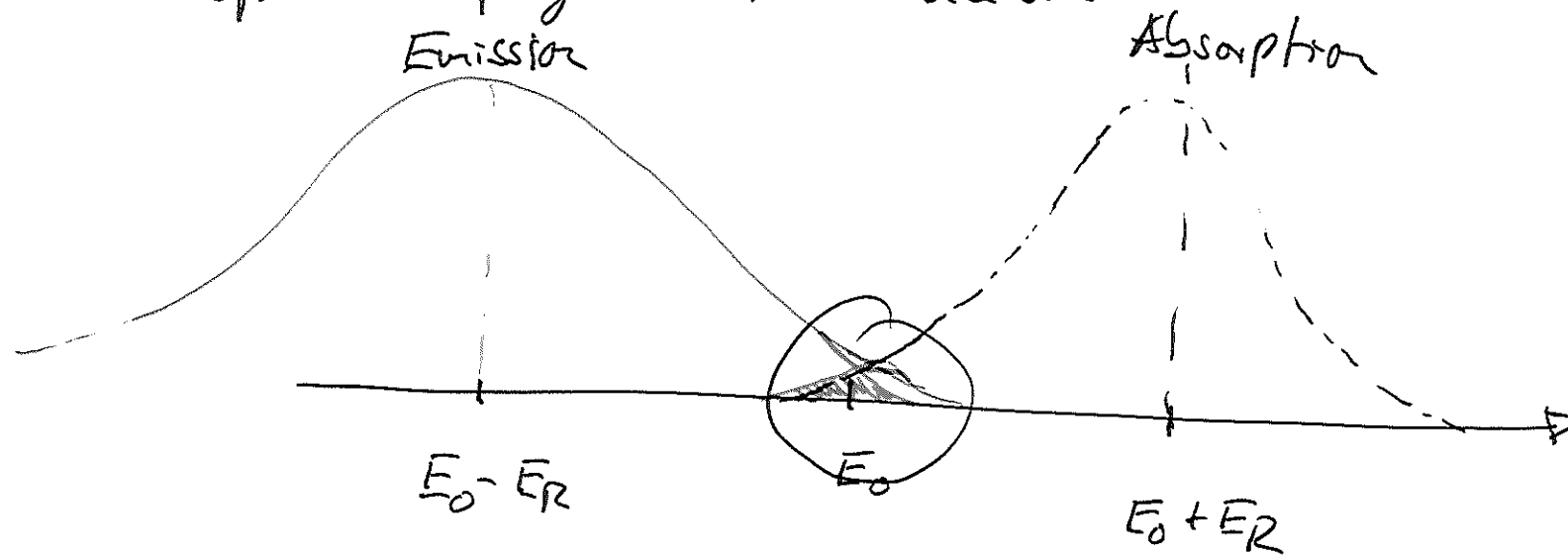


$$E_0 + \frac{p_t^2}{2m} = E_\gamma + \frac{(p_t - p)^2}{2m}$$

$$\Delta E = E_0 - E_\gamma = \frac{E_\gamma^2}{2mc^2} - E_\gamma \frac{v_t}{c}$$

$$\text{für Planck'sche Verteilung} \quad ST = E_0 \sqrt{\frac{2kT}{\pi c^2}} \gg P \quad (3)$$

Die gleiche Energie trete auch bei Absorption der  $\gamma$ -Strahlung auf, so dass Emissions- und Absorptions-Spektren folgende Form haben:



Resonanzabsorption  
ist auf kleine Bereich um  $E_0$   
beschränkt.

- R. L. Rößlauer (31.1. 1929\*, 14.9. 2011\*)  
Nobelpreis 1961

Für Atome in Kristallfilter ist  $\langle E_{\text{phonon}} \rangle \approx 10^{-2} \text{ eV} > E_R$   
„Rückstreuheit“ Emission, wenn hier Phononen aufgeregt werden.  
Näherungsweise gilt  $f = 1 - \frac{E_R}{\langle E_{\text{phonon}} \rangle}$ ; wobei  $f$ : Detektionseffizienz für rückstreuheit Emission

Debyesche Theorie : Frequenzspektrum d. Oszillatoren  
mit maximaler Frequenz  $\omega_{\max}$  (4)

Debye - Temperatur :  $\Theta = \frac{\hbar \omega_{\max}}{k}$  ( $k$ : Boltzmannkonstante)

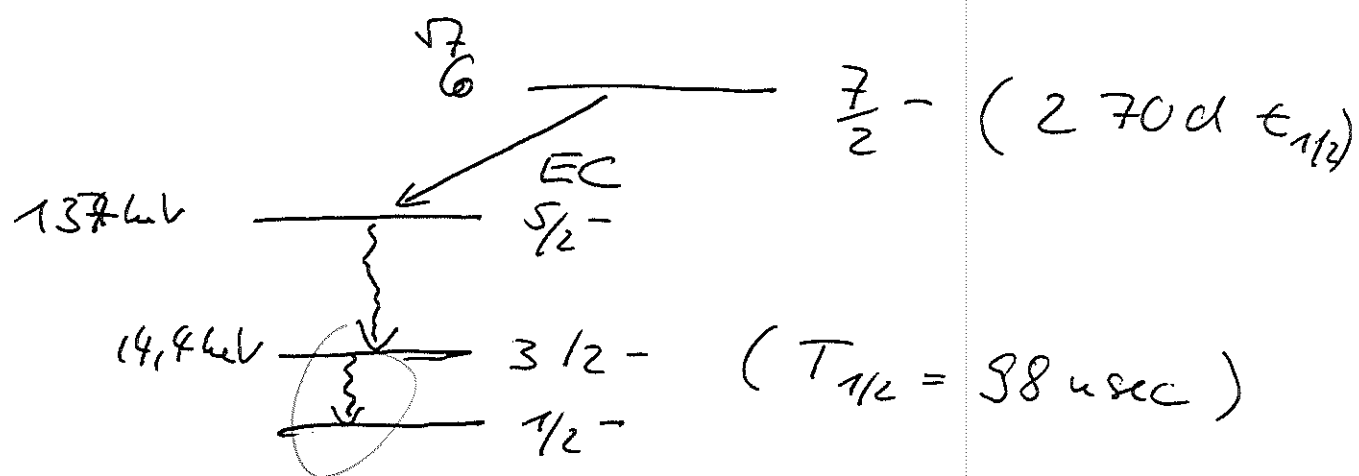
$$\Rightarrow f = \exp \left\{ - \frac{E_R}{k\Theta} \left( \frac{3}{2} + \frac{\pi^2 T^2}{\Theta^2} \right) \right\} \quad \text{Debye-Waller-}\\ \text{Faktor}$$

14,4 keV Übergang von  $^{57}\text{Fe}^{+}$  ist  $f \approx 0,9$  bei Ziriuskoposkop

In Abh.:  $E_R$  größer  $\rightarrow f$  kleiner

$T$  größer  $\rightarrow f$  kleiner

### Rößbaumeriggator



aber  $E_r > 0$ , trifft eine schwierigere Situation ein. Da die Energie der Untererregungen in der Größenordnung von  $10^{-2}$  eV liegen und wir beispielsweise bei  $^{57}\text{Fe}$  für  $E_r$  einen Wert von  $2 \cdot 10^{-3}$  eV erhalten haben, ist dieser Fall durchaus realistisch. Wir stellen uns der Einfachheit halber vor, daß im Gitter nur eine einzige Frequenz  $\omega$  vorkomme (Einstein-Modell). Das Gitter kann daher seine Energie bei der Emission nur um Beträge ändern, die ganzzahlige Vielfache von  $\hbar\omega$  sind. Die Aufnahme einer beliebigen Rückstoßenergie  $E_r$  ist daher gar nicht möglich. Im Einzelprozeß kann nur entweder gar keine Energie übertragen werden oder aber mindestens  $\hbar\omega$ . Man kann daher lediglich die quantenmechanische Wahrscheinlichkeit dafür angeben, daß der eine oder andere Fall eintritt. Wenn gar keine Energie übertragen wird, liegt „rückstoßfreie“ Emission vor.

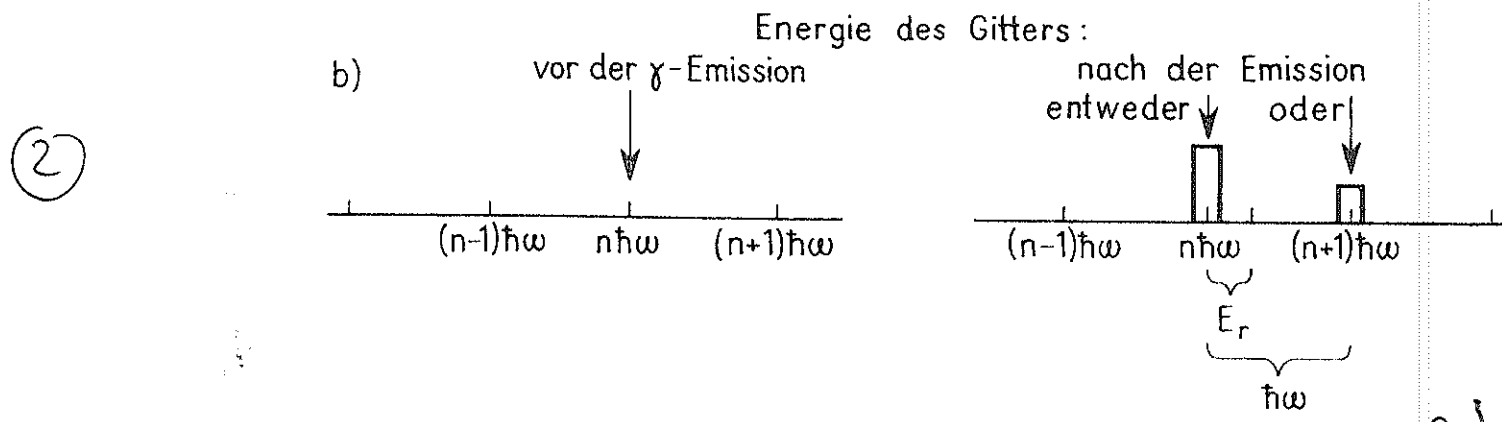
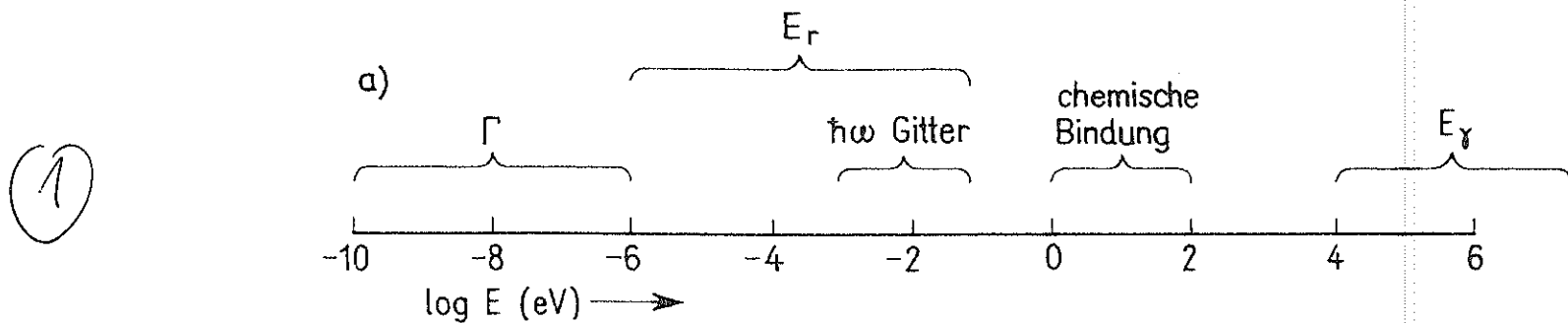


Fig. 40a) Energiebereiche, die bei der Resonanzabsorption wichtig sind:

an Neutronen

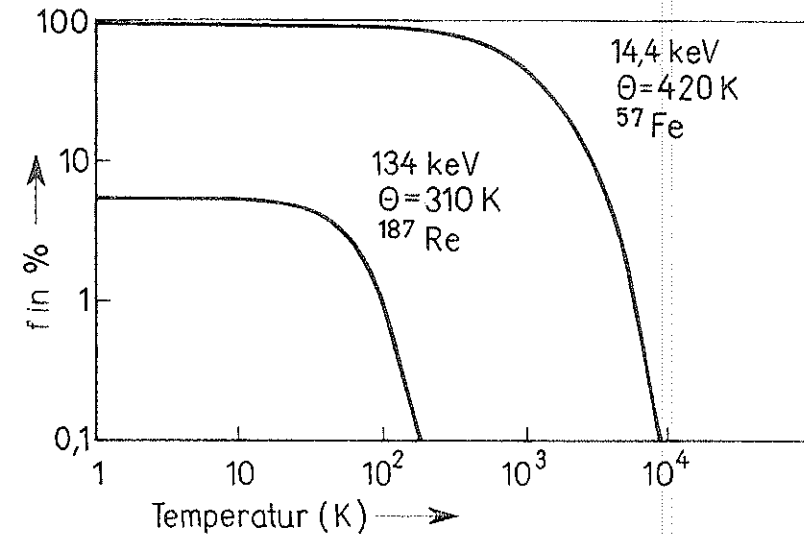
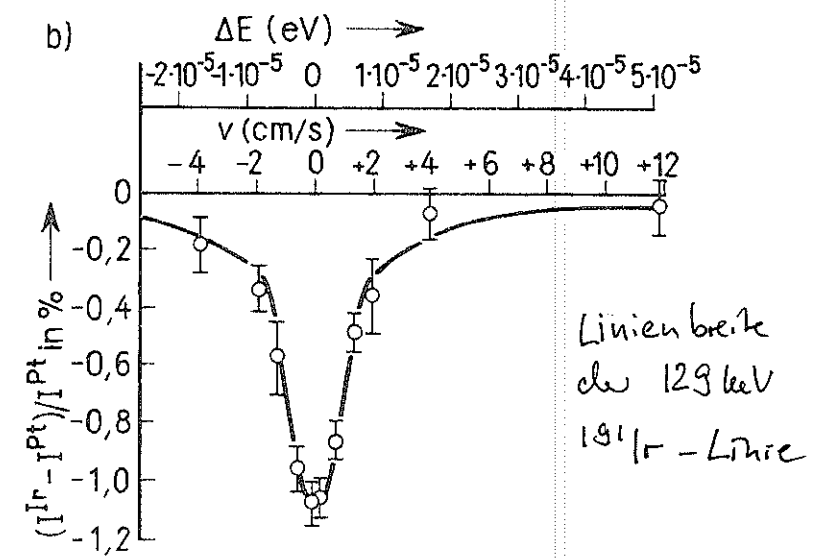
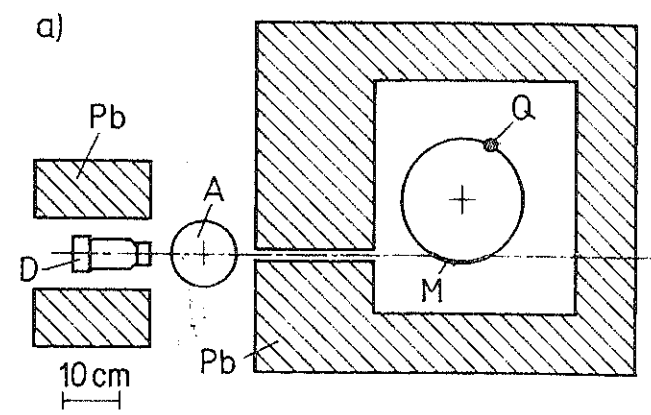
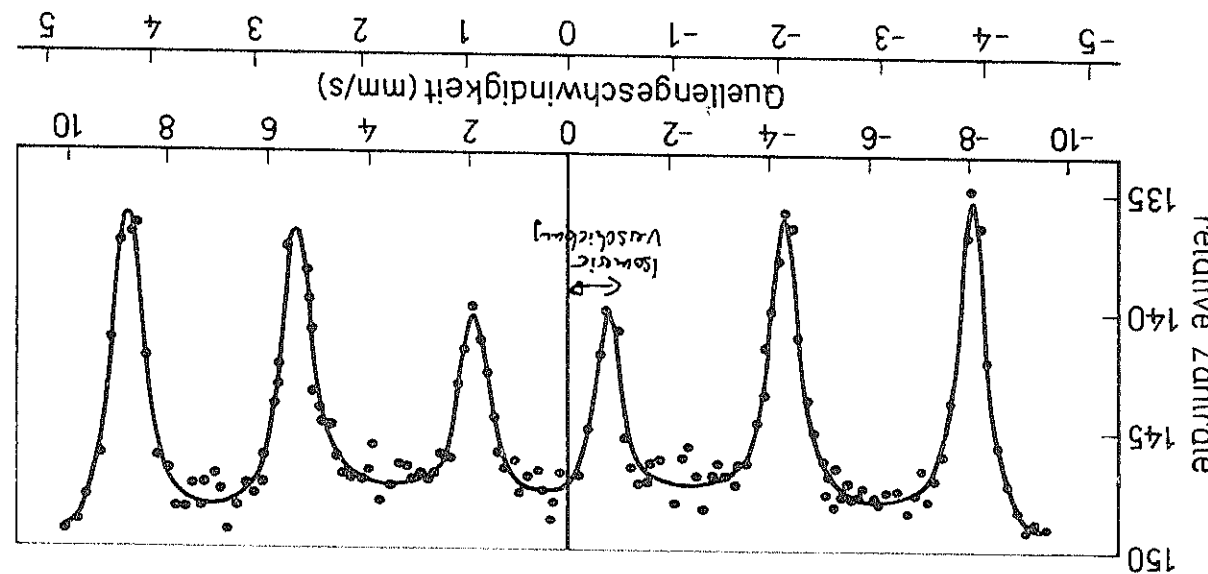


Fig. 41  
D e b y e - W a l l e r - F a k t o r für zwei  
typische Übergänge; aus [Mös 65]



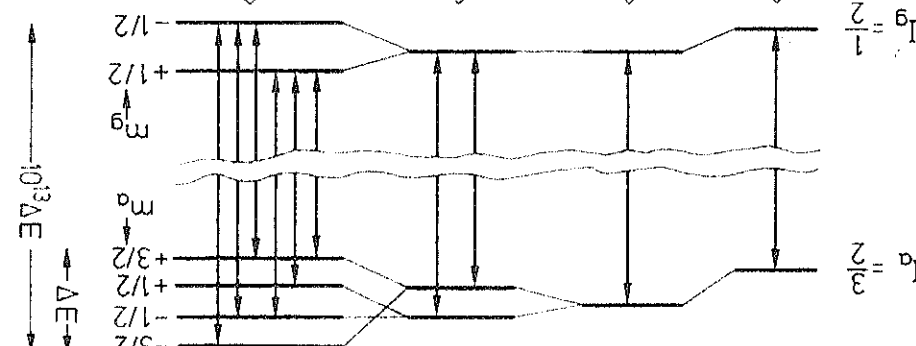
# Übersicht über die Techniken

a) Energieverschiebung  $E_0 \frac{c}{\nu} (10^{-7} \text{ eV})$



- Spektrum; nach [Kis 60]  
b) Zu den eingezichmten Über-  
gangen gehöriges Modellauer-  
in  $^{57}\text{Fe}$  (schematisch)
- a) Hyperfeinstrukturauflösung  
Fig. 43

$$E_g = E_a + \frac{2\pi}{3} L(0) [R_a^2 - R_g^2] \pm \frac{4}{3} \left( \frac{\partial E}{\partial z} \right) Q_z - \left[ \frac{\mu_a m_a}{\mu_g m_g} - \frac{I_a}{I_g} \right] B$$



nackter Isonukleotid- elektrische magnetische Quadrupol- Hyperfeinstruktur Kern Verschiebe- Auflösung

(5)

## Messbare relative Breite der NMR-Baukurve

$$^{131}\text{I}_r : \frac{\Pi}{E_g} = 3 \cdot 10^{-11}$$

$$^{52}\text{Fe} : \frac{\Pi}{E_g} = 3 \cdot 10^{-13}$$

$$^{62}\text{Zn} : \frac{\Pi}{E_g} = 5 \cdot 10^{-16}$$

Anwendungen:

- Test d. allg. Relativitätstheorie (Übungsaufgabe)
- Isomerieverziehung (chemische Verschiebung)
- Quadrupolaufspaltung:
- Raman Aufspaltung: Raman-Kernort  
 $\Rightarrow$  magnet. Hyperfeinstruktur

Bsp: allg. Relat. Theorie:

(6)

Photon der Energie  $\hbar\nu$  hat equiv. Ress. ( $E=mc^2$ )

$\frac{\hbar\nu}{c^2}$  . Potentiel  $\alpha/k_{\text{B}}c^2 \Delta\varphi$

$$\begin{aligned} \text{aufgenommene Energie } \delta E &= \text{Ress.} \cdot \Delta\varphi \\ &= \frac{\hbar\nu}{c^2} \Delta\varphi \\ &= \frac{\hbar\nu}{c^2} g h \end{aligned}$$

Höhe  $d_{1/2}$  sei Höhe nach der  $\gamma$ -Strahlung die Unterschiedsh. von einer Halbwertsstrecke erfaßt:

$$\frac{\delta\nu}{\nu} = 1,09 \cdot 10^{-18} d_{1/2} = \frac{I_0}{E}$$

$$d_{1/2} = \begin{cases} 3 \text{ km für } ^{57}\text{Fe} \\ 4,8 \text{ m für } ^{67}\text{Zn} \end{cases}$$